

О СПЕКТРАХ ИСПУСКАНИЯ И ПОГЛОЩЕНИЯ
В СИЛЬНОМ ПОЛЕ

Р. И. Соколовский

Исследуется изменение формы линии излучения и поглощения атомной системы, помещенной в сильное резонансное электромагнитное поле оптической частоты. Рассматривается переход, смежный переходу, резонансному сильному полю. Под действием поля на доплеровском контуре линии излучения (поглощения) появляется тонкая структура, связанная с тремя явлениями: 1) образованием неравновесного распределения по скоростям, 2) расщеплением атомных уровней, 3) нелинейным интерференционным эффектом (НИЭФ). Детально анализируются явления, связанные с расщеплением атомных уровней и НИЭФ.

В последнее время появилось большое число теоретических и экспериментальных работ, в которых изучалось изменение формы линии излучения, поглощения и генерации газа в сильном резонансном монохроматическом поле [1-8]. Было установлено, что изменения формы линии перехода, смежного с переходом, резонансным сильному полю, связаны с тремя явлениями: 1) образованием неравновесного распределения по скоростям, 2) расщеплением атомных уровней, 3) нелинейным интерференционным эффектом (НИЭФ) [1, 3, 5]. Наибольшее внимание было уделено НИЭФ, так как вследствие этого явления в спектре излучения, поглощения и генерации при определенных условиях появляется тонкая структура с шириной уже естественной ширины линии для данного перехода [1, 2, 5]. Явления, связанные с расщеплением атомных уровней, либо были совсем выпущены [2], либо проанализированы лишь частично [1, 5, 8]. Устранению этого пробела в теории и посвящена настоящая работа.

Интерес к явлению расщепления уровней связан с тем, что оно также приводит к образованию чрезвычайно резкой структуры в спектре [8]. Ширина последней с ростом напряженности сильного поля, при условиях наиболее благоприятных для НИЭФ, растет медленнее ширины «пичка», связанного с НИЭФ. И уже при параметре насыщения $\kappa \geq 1$ тонкая структура линии определяется в основном расщеплением атомных уровней.

Качественно это можно понять следующим образом. С ростом напряженности поля растет ширина беннетовского распределения по скоростям, а следовательно, и ширины уровней «эффективного атома» [5]. Изменение ширины уровней «эффективного атома» приводит к невозможности их расщепления полем и, как следствие, к резкому уширению интерференционного пичка [5]. С другой стороны, расщепление уровней обычного (не «эффективного») атома вовсе не зависит от заселенностей уровней, комбинирующих с сильным полем, и уширение беннетовского распределения на нем не сказывается. Поэтому при достаточно большом параметре насыщения наиболее резкая структура на доплеровском контуре линии связана с явлением расщепления атомных уровней, а не с НИЭФ.

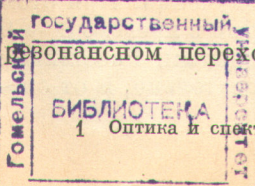
Перейдем к количественному описанию интересующих нас явлений. Рассмотрим атомную систему в поле двух плоских волн: сильном поле

$$E = E_0 \cos(\omega t - kx), \quad (1)$$

и слабом поле

$$E = E_p \cos(\omega_p t - kx), \quad (2)$$

276543



резонансом какому-либо из переходов $f-m$, $m-l$, $g-n$, $n-j$, смежным с переходом $m-n$ (рис. 1). Для определенности выберем переход $g-n$, т. е. будем считать, что частота поля ω_μ близка к частоте перехода ω_{gn} .

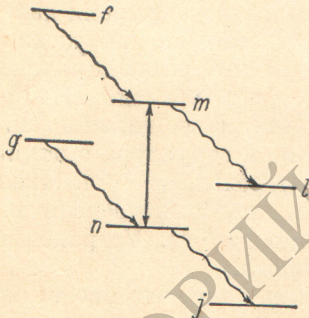
Мощность, излучаемая (поглощаемая) атомной системой на частоте ω_μ , определяется формулой

$$W_{gn} = -\hbar\omega_\mu^2 \operatorname{Re} \langle iV_{gn} e^{i\omega_{gn}t} \rho_{ng} \rangle.$$

Здесь и в дальнейшем угловые скобки означают усреднение по максвелловскому распределению атомов по скоростям; V_{gn} — матричный элемент взаимодействия атомной системы с полем (2), ρ_{ng} — элемент матрицы плотности атома в полях (1) и (2). Его можно найти, решив в резонансном приближении систему уравнений для ρ -матрицы при однородном в пространстве и постоянном во времени возбуждении. В вычислениях следует ограничиться первым приближением по V_{gn} . Выполняя стандартные выкладки [5], найдем, что

$$W_{gn} = 2\hbar\omega_\mu G_\mu^2 \operatorname{Re} \left\langle \left[i\Omega'_\mu + \Gamma_{ng} + \frac{G^2}{\Gamma_{gm} + i(\Omega'_\mu - \Omega')} \right]^{-1} \left\{ N_g - N_n - (N_m - N_n) \times \right. \right. \\ \left. \left. \times \frac{\pi G^2}{\Gamma_B} w_B(v) \left[\frac{2\Gamma}{\Gamma_n} \left(1 - \frac{\gamma_{mn}}{\Gamma_m} \right) + \frac{\Gamma + i\Omega'}{i(\Omega'_\mu - \Omega') + \Gamma_{gm}} \right] \right\} \right\rangle. \quad (3)$$

Здесь Γ_{gm} , Γ_{ng} , $\Gamma_{mn} = \Gamma$ — константы релаксации соответствующих переходов, Γ_m , Γ_n — константы релаксации уровней, γ_{mn} — коэффициент Эйнштейна перехода $m-n$; $\Omega = \omega - \omega_{mn}$, $\Omega' = \Omega - kv$, $\Omega_\mu = \omega_\mu - \omega_{gn}$, $\Omega'_\mu = \Omega_\mu - k_\mu v$;



$$G = \left| \frac{d_{mn} E_0}{2\hbar} \right|, \quad G_\mu = \left| \frac{d_{gn} E_\mu}{2\hbar} \right|,$$

N_m , N_n , N_g — интегральные заселенности уровней, $w_B(v) = \frac{1}{\pi} \frac{\Gamma_B}{(\Omega'^2 + \Gamma_B^2)}$ — распределение Беннета, $\Gamma_B = \Gamma \sqrt{1 + \kappa}$, κ — параметр насыщения

$$\kappa = \left(1 - \frac{\gamma_{mn}}{\Gamma_m + \Gamma_n} \right) \left(\frac{1}{\Gamma_m} + \frac{1}{\Gamma_n} \right) \frac{2G^2}{\Gamma}.$$

Рис. 1. Схема рассматриваемых переходов.

Если отбросить в формуле (3) угловые скобки, то получится формула, которая описывает изменение формы линии атома, движущегося с постоянной скоростью v . Множитель, стоящий перед фигурной скобкой, имеет два полюса, соответствующие расщеплению уровня n на два подуровня под действием поля [4]. Для очень сильных полей, когда величина расщепления превосходит доплеровскую ширину ($G \gg kv$) линии перехода $g-n$, спектр излучения (поглощения) должен состоять из двух компонент [1]. Экспериментально это явление наблюдалось в работах [9, 10] для паров атомов калия в поле гигантского импульса рубинового лазера.

В другом предельном случае $G \ll kv$ ($\Gamma \ll kv$) явление расщепления атомных уровней маскируется эффектом Доплера и непосредственно не наблюдается. Однако при определенных условиях существование расщепления для каждого отдельного атома все же приводит к изменению формы линии излучения (поглощения) ансамбля атомов с максвелловским распределением по скоростям. Чтобы это понять, нужно подробнее рассмотреть динамику взаимодействия ансамбля атомов с полем излучения. При этом удобно, в случае $\Omega' \neq 0$, тот подуровень уровня n , который в пределе $G \rightarrow 0$ совпадает с n , называть основным, а второй — виртуальным. Расстояние между подуровнями зависит от расстройки Ω' , а следовательно, и от ско-

рости атома. Поэтому при фиксированных ω и ω_μ часть атомов переходит с уровня g на основной подуровень ($N_g > N_n$), а часть — на виртуальный с излучением кванта $\hbar\omega_\mu$. Среди атомов, которые совершают переходы между основным подуровнем и уровнем g , можно выделить группу, связанную с действием на атомную систему поля G . Их число при $G \rightarrow 0$ пропорционально G^2 . Реализоваться могут два случая: 1) атомы этой группы поглощают ($N_g > N_n$), а атомы, переходящие на виртуальный уровень, излучают; 2) обе группы атомов излучают. С помощью формулы (3) нетрудно убедиться, что число атомов в обеих группах одинаково. Следовательно, в первом случае существование расщепления уровней не сказывается на излучаемой (поглощаемой) мощности. Во втором случае изменением ω_μ можно добиться слияния группы атомов, совершающих переходы на основной уровень, с группой атомов, совершающих переходы на виртуальный уровень. В результате излучаемая мощность должна уменьшиться. Соответственно на контуре линии перехода $g-n$ появляется узкая структура в виде «провала», обусловленная расщеплением уровня n .

Для иллюстрации вышеизложенного рассмотрим ситуацию, когда изменение формы линии определяется только расщеплением уровня n ($N_m - N_n = 0$), и ограничимся первым порядком теории возмущений по G^2 . С помощью формулы (3) можно найти зависимость излучаемой (поглощаемой) мощности от скорости атома при фиксированных ω и ω_μ и параллельных k и k_μ .

$$W(\bar{v}) = 2\hbar\omega_\mu G_\mu^2 (N_g - N_n) (\sqrt{\pi\bar{v}})^{-3} \exp\left\{-\frac{v^2}{\bar{v}^2}\right\} \left[\left(1 + \frac{k - k_\mu k_\mu G^2}{k_\mu k G^2}\right) \frac{\Gamma_{ng}}{(\Omega_\mu - \eta)^2 + \Gamma_{ng}^2} + \left(\frac{k - k_\mu}{k}\right)^2 \frac{G^2}{z^2} \frac{\Gamma_{gm}}{\left(\Omega_\mu - \Omega - \frac{k_\mu - k}{k_\mu} \eta\right)^2 + \Gamma_{gm}^2} \right], \quad (4)$$

$$z = \Omega_\mu - \frac{k_\mu}{k} \Omega, \quad \eta = k_\mu v, \quad \bar{v} = \sqrt{\frac{2kT}{M}},$$

$$kk_\mu > 0, \quad |z| \geq \Gamma_k = \frac{k_\mu}{k} \Gamma_{gm} + \left(1 - \frac{k_\mu}{k}\right) \Gamma_{ng}.$$

Проанализируем полученную формулу. Имеется два «пика» в распределении по скоростям (4), амплитуда которых пропорциональна G^2 . Пики имеют лорентцеву форму с ширинами Γ_{ng} и Γ_{gm} соответственно. Первый пик соответствует атомам, излучающим ($k > k_\mu$) или поглощающим ($k < k_\mu$) квант $\hbar\omega_\mu$ при переходе между уровнем g и основным подуровнем уровня n . Второй пик соответствует атомам, излучающим квант $\hbar\omega_\mu$ при переходе на виртуальный подуровень. Площади пиков одинаковы. Первый случай реализуется, когда $k < k_\mu$. Число атомов, переходящих на основной подуровень, уменьшается за счет действия поля, зато во столько же раз увеличивается число атомов, переходящих на виртуальный подуровень. Суммарная мощность не меняется, и расщепление уровней не проявляется.

Во втором случае ($k > k_\mu$) с ростом поля увеличивается как число атомов, переходящих на основной подуровень, так и число атомов, переходящих на виртуальный подуровень. При изменении Ω_μ центры пиков могут совпасть, что приведет к уменьшению излучаемой мощности. На контуре линии излучения ($N_g > N_n$) появится «провал», центр которого можно найти, приравняв абсциссы максимумов в распределении (4):

$$\Omega_\mu = \frac{k_\mu}{k_\mu - k} (\Omega_\mu - \Omega), \quad \text{откуда } \Omega_\mu = \frac{k_\mu \Omega}{k}.$$

Чтобы найти форму провала, нужно провести в формуле (3) усреднение по скоростям для параллельных k и k_μ при $N_m - N_n = 0$. В резуль-

тате для излучаемой (поглощаемой) мощности получится следующая формула ($\Gamma \ll kv$, $G \ll kv$):

$$W = 2\hbar\omega_\mu G_\mu^2 \frac{\sqrt{\pi}}{kv} e^{-\frac{\Omega_\mu^2}{(kv)^2}} (N_g - N_n) \operatorname{Re} \left[1 - \frac{k - k_\mu}{k} \frac{k_\mu}{k} \frac{2G^2}{\Gamma_k^2} \Theta(k - k_\mu) J_1(\Omega_\mu) \right], \quad (5)$$

где

$$J_1(\Omega_\mu) = \frac{\frac{\Gamma_k^2}{2}}{W(\zeta) \left[\frac{\zeta}{2} + W(\zeta) \right]}; \quad W(\zeta) = \sqrt{\left(\frac{\zeta}{2}\right)^2 + \frac{k - k_\mu}{k} \frac{k_\mu}{k} |G|^2}; \quad (6)$$

$$\zeta = \Gamma_k + iz, \quad z = \Omega_\mu - \frac{k_\mu}{k} \Omega, \quad \Gamma_k = \frac{k_\mu}{k} \Gamma_{gm} + \left(1 - \frac{k_\mu}{k}\right) \Gamma_{ng}.$$

Из формул (5) и (6) следует, что параметр «насыщения» явления расщепления $x_p = \frac{k - k_\mu}{k} \frac{k_\mu}{k} \frac{G^2}{\Gamma_k^2}$ отличен от x . Например, в условиях наи-

более благоприятных для проявления НИЭФ [5] $\left(\frac{\Gamma}{\Gamma_k}\right)^2 x_p \ll x$. Поэтому в ряде случаев $x_p \ll 1$ даже при конечных x и удобно пользоваться приближенным выражением

$$J_1(\Omega_\mu) \approx J_1^0(\Omega_\mu) = \left[\frac{\Gamma_k}{\Gamma_k + i \left(\Omega_\mu - \frac{k_\mu}{k} \Omega \right)} \right]^2. \quad (7)$$

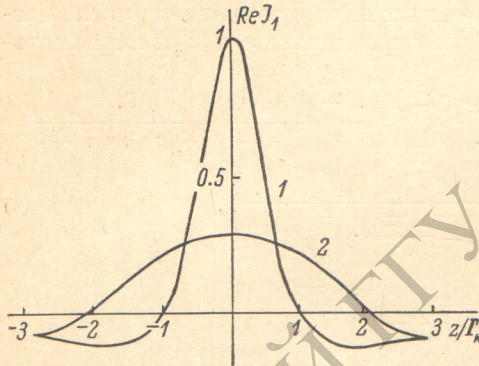


Рис. 2. Графики функции $\operatorname{Re} J_1(\Omega_\mu)$.

1 - бесконечно малый параметр насыщения x_p ,
2 - $x_p = 1$.

Графики функции $\operatorname{Re} J_1(\Omega_\mu)$ изображены на рис. 2. Первая кривая соответствует $x_p \ll 1$ и построена по формуле (7), вторая кривая соответствует $x_p = 1$. Из сравнения кривых можно заключить, что

с ростом x_p особенность, связанная с расщеплением уровней, размывается.

В общем случае, когда $N_m - N_n \neq 0$, наряду с расщеплением уровней начинают играть роль НИЭФ и неравновесное распределение по скоростям на уровнях m и n . Усреднение по скоростям в формуле (3) для параллельных и антипараллельных k и k_μ также может быть выполнено в предположении, что $\Gamma \ll kv$, $G \ll kv$. Полученную формулу удобно представить в виде

$$W = \pm 2\hbar\omega_\mu G_\mu^2 \frac{\sqrt{\pi}}{k_\mu v} e^{-\frac{\Omega_\mu^2}{(k_\mu v)^2}} \operatorname{Re} \{ (N_g - N_n) [1 - J_1(\Omega_\mu)] - (N_m - N_n) [F_\pm(\Omega_\mu) + f_\pm(\Omega_\mu) + J_2(\Omega_\mu)] \}. \quad (8)$$

Здесь $F_\pm(\Omega_\mu)$, $f_\pm(\Omega_\mu)$ - функции, описывающие изменение формы линии «эффeктивного неподвижного атома» [5]

$$F_\pm(\Omega_\mu) + f_\pm(\Omega_\mu) = \frac{k_\mu}{k} \frac{2G^2}{\sqrt{1+x}} \frac{\Gamma_n^{-1} \left(1 - \frac{\gamma_{mn}}{\Gamma_m} \right) [\Gamma_\pm + iz] + \left(\frac{1 \pm \sqrt{1+x}}{2} \right)}{(\Gamma_0 + iz) (\Gamma_\pm + iz) + G^2}, \quad (9)$$

$$\Gamma_0 = \Gamma_{ng} + \frac{k_\mu}{k} \Gamma_B, \quad \Gamma_\pm = \Gamma_{gm} + \left(\frac{k_\mu}{k} \mp 1 \right) \Gamma_B.$$

Знаки + и - в (9) означают соответственно k_μ вдоль и против k .
Функция

$$J_1(\Omega_\mu) = \theta(k - k_\mu) \theta(k k_\mu) \frac{k - k_\mu}{k} \frac{k_\mu}{k} \frac{2G^2}{\Gamma_k^2} J_1(\Omega_\mu) \quad (10)$$

описывает расщепление уровней для ансамбля атомов с максвелловским распределением по скоростям. Соответственно функция

$$J_2(\Omega_\mu) = -\theta(k - k_\mu) \theta(k k_\mu) \times \frac{k - k_\mu}{k} \frac{k_\mu}{k} \frac{2G^2}{\Gamma_k^2} J_2(\Omega_\mu), \quad (11)$$

где

$$J_2(\Omega_\mu) = -\frac{k - k_\mu}{k} \frac{\Delta(\zeta)}{W(\zeta)} \times \frac{\Gamma_k^2}{[iz + \Delta(\zeta) + \Gamma_{gm}]^2 - \left(1 - \frac{k_\mu}{k}\right)^2 \Gamma_B^2} \times \left\{ \frac{2\Gamma}{\Gamma_n} \left(1 - \frac{\gamma_{mn}}{\Gamma_m}\right) - \frac{1}{\Delta(\zeta)} \frac{k}{k - k_\mu} \times [iz + \Delta(\zeta) + \Gamma_{gm} + \left(1 - \frac{k_\mu}{k}\right)\Gamma] \right\}, \quad (12)$$

$$\Delta(\zeta) = \left(W(\zeta) - \frac{\zeta}{2}\right) \frac{k}{k_\mu}$$

описывает расщепление для неравно-весной добавки к максвелловскому распределению вкупе с НИЭФ. При малом параметре насыщения x_p ($x_p \ll 1$) $\Delta(\zeta) \approx 0$ и вместо (12) можно пользоваться приближенной формулой

$$J_2(\Omega_\mu) \approx \frac{\Gamma_k^2}{iz + \Gamma_k} \frac{iz + \Gamma_{gm} + \left(1 - \frac{k_\mu}{k}\right)\Gamma}{(iz + \Gamma_{gm})^2 - \left(1 - \frac{k_\mu}{k}\right)^2 \Gamma_B^2}. \quad (13)$$

Проанализируем формулу (8) при малых параметрах насыщения $x \ll 1$, $x_p \ll 1$. В этом случае функции $J_2(\Omega_\mu)$, $f_+(\Omega_\mu)$, $F_+(\Omega_\mu)$ следует разложить в ряд по соответствующим малым параметрам и ограничиться первыми неисчезающими поправками. Затем, если объединить соответствующие приближенные выражения для функций $J_1(\Omega_\mu)$, $J_2(\Omega_\mu)$ и $f_+(\Omega_\mu)$, то можно получить формулу ($k > k_\mu$, $kk_\mu > 0$)

$$W \approx 2\hbar\omega_\mu G_\mu^2 \frac{\sqrt{\pi}}{k\bar{v}} e^{\frac{-\Omega_\mu^2}{(k\bar{v})^2}} \left\{ N_g - N_n - (N_m - N_n) \frac{2G^2}{\Gamma_0 \Gamma_n} \frac{k_\mu}{k} \Lambda(z) \right\}, \quad (14)$$

где

$$\left. \begin{aligned} \Lambda(z) &= \left(1 - \xi - \frac{\gamma_{mn}}{\Gamma_m}\right) \frac{\Gamma_0^2}{\Gamma_0 + z^2} + \varepsilon \frac{\Gamma_0}{\Gamma_k} I(z), \\ I(z) &= \left(\frac{\xi}{\varepsilon} - 1\right) \frac{\Gamma_k^2}{\Gamma_k^2 + z^2} + 2 \left(\frac{\Gamma_k^2}{\Gamma_k^2 + z^2}\right)^2, \\ \varepsilon &= \frac{N_g - N_n}{N_m - N_n} \frac{k - k_\mu}{k} \frac{\Gamma_n}{\Gamma_k}, \quad \xi = \frac{\Gamma_n}{\Gamma - \Gamma_{mg} + \Gamma_{ng}}. \end{aligned} \right\} \quad (15)$$

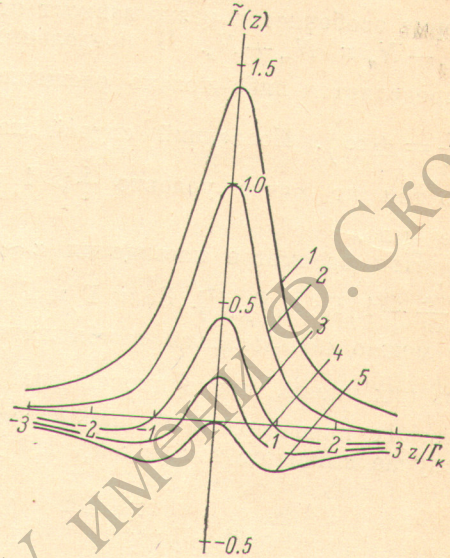


Рис. 3. Графики функции $I(z) = \left[\left(\frac{\xi}{\varepsilon} - 1\right)^2 + 4\right]^{-1/2} I(z)$ для разных значений параметра $\frac{\xi}{\varepsilon}$.

$$1 - \frac{\xi}{\varepsilon} = 3, \quad 2 - \frac{\xi}{\varepsilon} = 1, \quad 3 - \frac{\xi}{\varepsilon} = 0, \quad 4 - \frac{\xi}{\varepsilon} = -0.5, \quad 5 - \frac{\xi}{\varepsilon} = -1.$$

Когда константы релаксации определяются лишь радиационным затуханием, $\xi = 1$, кроме того, для высоко возбужденных состояний обычно $\frac{\gamma_{mn}}{\Gamma_m} \ll 1$. Поэтому в большинстве случаев изменение формы линии в основном определяется функцией $I(z)$. Графики этой функции приведены на рис. 3 для различных значений параметра $\frac{\xi}{\epsilon}$. Их анализ показывает, что форма особенности резко зависит от отношения разности заселенностей $N_g - N_n$ к $N_m - N_n$. В предельных случаях изменение формы линии определяется либо только расщеплением уровней ($\frac{\xi}{\epsilon} = 0$), либо НИЭФ ($\frac{\xi}{\epsilon} = \pm \infty$). Последний случай как раз и рассматривался в работе [5], но тем не менее условие $\frac{\xi}{\epsilon} \gg 1$ в соответствующем месте упомянуто не было.

При параметре насыщения $x \sim 1$ наиболее интересен случай, когда $(\frac{k_\mu}{k} - 1) \Gamma_B \ll \Gamma_{gm}$ [5]. Если Γ и Γ_{gm} величины одного порядка, то $x_p \ll 1$ и можно пользоваться приближенными формулами (7) и (13), выбросив из них члены, пропорциональные $(1 - \frac{k_\mu}{k})$. После несложных алгебраических преобразований приближенное выражение для мощности в этом случае выглядит так ($k > k_\mu$, $k_\mu k > 0$):

$$W \approx 2\hbar\omega_\mu G_\mu^2 \frac{\sqrt{\pi}}{k\bar{\nu}} e^{-\frac{\omega_\mu^2}{(k\bar{\nu})^2}} \operatorname{Re} \left\{ N_g - N_n - (N_m - N_n) \left[F_+(\Omega_\mu) + f_+(\Omega_\mu) - 2x_p \left(1 + \frac{N_g - N_n}{N_m - N_n} \right) J_1^0(\Omega_\mu) \right] \right\}. \quad (16)$$

Из формулы (16) следует, что с ростом напряженности сильного поля наиболее резкая структура на доплеровском контуре линии определяется явлением расщепления уровней, так как ширина функции $f_+(\Omega_\mu)$ при конечном параметре насыщения x резко возрастает [5] в связи с ростом ширины «эффективного» атома.

Литература

- [1] Г. Е. Ноткин, С. Г. Раутиан, А. А. Феоктистов. ЖЭТФ, 52, 1673, 1967.
- [2] M. S. Feld, A. Javan. Phys. Rev., 177, 540, 1969.
- [3] С. Г. Раутиан, А. А. Феоктистов. ЖЭТФ, 56, 227, 1969.
- [4] С. Г. Раутиан. Тр. ФИАН, 43, 3, 1968.
- [5] Т. Я. Попова, А. К. Попов, С. Г. Раутиан, Р. И. Соколовский. ЖЭТФ, 57, 850, 1969.
- [6] H. K. Holt. Phys. Rev., Letts, 20, 410, 1968.
- [7] И. М. Бетеров, В. П. Чеботаев. ЖЭТФ, Письма в Редакцию, 9, 216, 1969.
- [8] T. Hänsch, R. Kell, A. Schabert, Ch. Schmelzer, P. Toschek. Zs. f. Phys., 226, 293, 1969.
- [9] А. М. Бонч-Бруевич, Н. Н. Костин, В. А. Ходовой, В. В. Хромов. ЖЭТФ, 56, 144, 1969.
- [10] Ю. М. Кирич, Д. П. Ковалев, С. Г. Раутиан, Р. И. Соколовский. ЖЭТФ, Письма в Редакцию, 9, 7, 1969.

Поступило в Редакцию 5 ноября 1969 г.